

การออกแบบและสร้างเครื่องวิเคราะห์วงจรข่ายโดยวิธีทางคณิตศาสตร์



นาย ประมูล ชนะพรกันต์

001552

วิทยานิพนธ์นี้เป็นส่วนหนึ่งของการศึกษาความหลังสูตรปริญญาวิศวกรรมศาสตรมหาบัณฑิต

แผนกวิชาวิศวกรรมไฟฟ้า

มหาวิทยาลัย จุฬาลงกรณ์มหาวิทยาลัย

๑๖๙๐๔๔๕

DESIGN AND CONSTRUCTION OF
A NETWORK ANALYSER USING DIGITAL TECHNIQUE

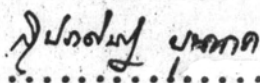
Mr. Pramuk Thanapornpun

A Thesis Submitted in Partial Fulfillment of the Requirements
for the Degree of Master of Engineering
Department of Electrical Engineering
Graduate School
Chulalongkorn University

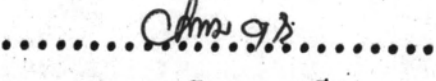
1978

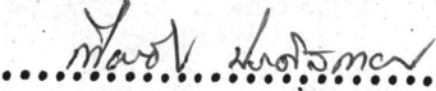
หัวขอวิทยานิพนธ์	การออกแบบและสร้างเครื่องวิเคราะห์วงจรชั้ยโดยวิธีทางคณิตศาสตร์
โดย	นายประนูช ชนะพรทันต์
แผนกวิชา	วิศวกรรมไฟฟ้า
อาจารย์ที่ปรึกษา	ดร. เทียนชัย ประกิสดายน

บัณฑิตวิทยาลัย จุฬาลงกรณ์มหาวิทยาลัย อนุมัติให้นับวิทยานิพนธ์นับนี้เป็นส่วนหนึ่งของการศึกษาตามหลักสูตรปริญญามหาบัณฑิต

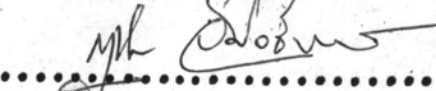
 รักษาราชการแทนคณิตบัณฑิตวิทยาลัย
(พ.ศ. สุประคิษฐ์ บุนนาค)

คณะกรรมการสอบวิทยานิพนธ์

 ประธานกรรมการ
(พ.ศ. ก. โภคิน อารียา)

 กรรมการ
(พ.ศ. ก. เทียนชัย ประกิสดายน)

 กรรมการ
(พ.ศ. ชาครี พรไพบูลย์)

 กรรมการ
(พ.ศ. กรุณา วิศวะรานิห)

อธิบดีของบัณฑิตวิทยาลัย จุฬาลงกรณ์มหาวิทยาลัย

หัวข้อวิทยานิพนธ์ การออกแบบและสร้างเครื่องวิเคราะห์วงจรช่วยโดยวิธีกิจ/mol
 ชื่อนิสิต นายประนูช ชันชาทรพันธุ์
 อาจารย์ที่ปรึกษา บศ.คร. เทียนชัย ประคิสสถาณ
 แผนกวิชา วิศวกรรมไฟฟ้า
 ปีการศึกษา พ.ศ. 2520



บทคัดย่อ

เครื่องวิเคราะห์วงจรช่วยที่ออกแบบโดยวิธีทางคิจ/mol หรือที่เรียกว่า
 เครื่องวิเคราะห์วงจรแบบคิจ/mol ที่ได้ออกแบบและสร้างขึ้นในการวิจัยนี้ ใช้วัสดุจากวัสดุ
 อินทิเกรตเต็มรูปแบบ เป็นส่วนใหญ่ ในการออกแบบได้พยายามใช้ระบบคิจ/mol ให้มากที่สุด
 เพื่อที่จะลดความผิดพลาดเนื่องจากวงจรทางอนาคต ในการวัดอัตราขยาย-rate
 เปလี่ยนลัญญาณกระแสลับขาเข้าให้เป็นแรงคันไฟฟ้ากระแสตรง โดยวงจรเชื่อมต่อ
 เวอร์ทเทอร์ และใช้วงจรเชื่อมต่อเวอร์ทเทอร์ในการเปลี่ยนแรงคันกระแสตรงให้เป็นสัญ-
 ญาณทางคิจ/mol แล้ว จึงนำผลที่ได้ไปคำนวนโดยใช้แคลคูลัสเดอร์ซิพ ส่วนการวัดความ
 แทกท่างมุมจะใช้วิธีปลดล็อกลิ้นชักความถี่คงที่เป็นเวลาตามเท่ากับเวลาที่ลัญญาณขาเข้า
 ทั้งสองทางกัน และยังปลดล็อกลิ้นชักความถี่คงที่อันเดิมเป็นเวลาเท่ากับหนึ่งรอบของลัญ-
 ญาณขาเข้า ถังนั้นถ้าเราคำนวณลูกคิลลิ่นของลัญญาณความถี่คงที่ที่ถูกปลดล็อกมาทั้งสอง
 ครั้ง และคำนวณล็อกท์ในการนับไปหารกันโดยใช้แคลคูลัสเดอร์ซิพ และคูณผลลัพธ์กับ 360
 ผลที่ได้จะเป็นค่าความแทกท่างมุมในหน่วยองศา

จากเครื่องวิเคราะห์วงจรที่ได้ออกแบบและสร้างขึ้นในการวิจัยนี้ มีความ
 ผิดพลาดในการวัดอัตราขยายที่มากกว่า 1 เปอร์เซ็นต์ และความผิดพลาดในการวัดความ

แทกทุ่งมูน้อยกว่า 0.8 องศา ในย่านความดัน 10 เอิร์ท ถึง 10 กิโลเอิร์ท และความ
แทกทุ่งของขนาดของลักษณะเช้าทั้งสองอยู่ในช่วง 20 เกซิเบล

Thesis Title Design and Construction of a Network Analyser
 using Digital Technique

Name Mr. Pramuk Thanapornpun

Thesis Advisor Dr. Tienchai Pradisthayon

Academic Year 1977



ABSTRACT

In the design and construction of the Digital Network Analyser, integrated circuits are mainly used. The design is based on the digital systems so as to minimize errors that usually occur in the analog circuits. In obtaining gain, the a.c. input signals are converted to d.c. voltages by A.C. to D.C. Converter circuit. The A to D Converter is used to convert the d.c. voltages to digital form. Then the calculation is done by the calculator chip. The number of digital pulses of a constant frequency for the duration of the phase difference is divided by the number of digital pulses of the same kind for the duration of one period of the input signal. Then the quotient is multiplied by 360 resulting in the phase difference in degrees.

Operating in the frequency range of 10 Hz to 10KHz and

with the gain of ± 20 decibels, the constructed Digital Network Analyser yields the gain accuracy of less than 1 percent and the phase difference of less than 0.8 degree error

กิจกรรมประจำ

ผู้วิจัยขอขอบคุณ อาจารย์ เทียนชัย ประดิษถายน ซึ่งเป็นอาจารย์ผู้ควบคุมการวิจัย ที่ให้คำปรึกษา แนะนำและแก้ไขวิทยานิพนธ์ฉบับนี้จนสำเร็จเป็นอย่างดี

นอกจากผู้วิจัยขอขอบคุณ อาจารย์ สุรุณ สักยประกอบ และเจ้าหน้าที่ทางฯ ของแผนกวิชาศึกษาคอมพิวเตอร์ที่ให้ความช่วยเหลือในการทำวิจัยนี้

สารบัญ

หัวเรื่อง (ภาษาไทย)
(ภาษาอังกฤษ)

หน้าอ้อมคิท

บทคัดย่อ (ภาษาไทย)
(ภาษาอังกฤษ)

กิจกรรมประจำ

สารบัญ

สารบัญตารางประจำ

สารบัญรูปประจำ

บทที่ 1 บทนำ

1.1 บทนำ

1.2 เครื่องวิเคราะห์วงศ์แบบกิจขล

1.3 การคำนวณงานวิจัย

1.4 สรุปยอดของการทำวิทยานิพนธ์

บทที่ 2 ระบบของเครื่องวิเคราะห์วงศ์แบบกิจขล

2.1 บทนำ

2.2 ภาควัสดุทราย

2.3 ภาควัสดุความแตกต่าง

2.4 แผนภาพตัวเครื่อง

2.5 สรุปผล

บทที่ 3 การออกแบบและสร้างวงศ์

3.1 บทนำ

3.2 ภาคเชื้อ ทุ ศิรี คงเวิร์ทเนอร์



หน้า

ก

ข

ค

ง

ฉ

ช

ฉ

ม

ท

1

1

1

3

5

6

6

6

6

8

13

14

14

14

3.3 ภาคເອົ້າທີ່ ຄອນເວິຣ່ຫເຫວຼ້ອ	14
3.4 ภาคກວຈັບຄວາມແທກທາງນຸ່ມ	26
3.5 ภาคນັບແລະມັລືພັກເຊອ່ວ	30
3.6 ภาคຕື່ໂຄດເກອ່ວ	31
3.7 ภาคກໍານວນແລະແສກງຜລ	34
3.8 ภาคຄວນຄຸມ	39
3.9 ສຽງຜລ	46
ນທີ 4 ກາຮທກສອນວັງຈາຍຂອຍ	47
4.1 ບຫນា	47
4.2 ກາຮທກສອນກາຟເອົ້າ ຫຼື ດີ້ ຄອນເວິຣ່ຫເຫວຼ້ອ	47
4.3 ກາຮທກສອນກາຟເອົ້າທີ່ ຄອນເວິຣ່ຫເຫວຼ້ອ	55
4.4 ກາຮທກສອນກາຟນັບແລະມັລືພັກເຊອ່ວ	58
4.5 ກາຮທກສອນກາຟກໍານວນແລະແສກງຜລ	58
4.6 ກາຮທກສອນກາຟຕື່ໂຄດເກອ່ວ	58
4.7 ກາຮທກສອນກາຟຄວນຄຸມກາຮມັລືພັກເຊອ່ວ	61
4.8 ກາຮທກສອນກາຟຄວນຄຸມກາຮກໍານວນອັກຮາຊຍາຍ	61
4.9 ກາຮທກສອນກາຟຄວນຄຸມກາຮກໍານວນເຟສ	61
4.10 ສຽງຜລ	67
ນທີ 5 ກາຮທກສອນເຄື່ອງວິເຄຣະໜ່ວງຈາຍແບບຄິທຂອດ	68
5.1 ບຫນາ	68
5.2 ກາຮທກສອນເບືອງຄນ	68
5.3 ວິເຄຣະໜ່ວງຈາຍທີ່ທ່ຽນລັກນະສົມບົດທາງໄຟຟ້າ	71
5.4 ກາຮໃໝ່ເຄື່ອງວິເຄຣະໜ່ວງຈາຍແບບຄິທຂອດວິເຄຣະໜ່ວງຈາຍ ທີ່ໃໝ່ທ່ຽນລັກນະສົມບົດ	91
5.5 ສຽງຜລກາຮທກອງ	97
5.6 ຂອເສນອແນະ	98

เอกสารอ้างอิง

100

ภาคผนวก

101

ประวัติยุทธวิจัย

149



สารบัญตารางปะกอบ

ตารางที่	ชื่อของตาราง	
4.1	ผลการทดสอบความเป็นเชิงเส้นของวงจร เอชูคีซีคอนเวอร์เทอร์	48
4.2	การแสดงผลการทดสอบของวงจร เอชูคีซีคอนเวอร์เทอร์ที่อัตราขยาย เป็นหนึ่ง	51
4.3	การแสดงผลการทดสอบของวงจร เอชูคีซีคอนเวอร์เทอร์ที่อัตราขยาย เป็นลิบ	52
4.4	ความสัมพันธ์ระหว่างแรงดันข้าออกหัวส่องชุดของวงจร เอชูคีซีคอนเวอร์เทอร์ ในกรณีทั่วๆ	53
4.5	ผลการทดสอบความแม่นยำของวงจร เอชูคีซีคอนเวอร์เทอร์	56
4.6	ผลการทดสอบความเป็นเชิงเส้นของวงจร เอชูคีซีคอนเวอร์เทอร์	56
4.7	แสดงสภาวะการทำงานของภาคบันและมอติเพลกเซอร์	59
4.8	ผลการทดสอบภาคคีโตกิเบอร์	60
4.9	แสดงผลการทดลองภาคควบคุมการมัดที่เพลก	64
4.10	ผลการทดสอบภาคควบคุมการคำนวนอัตราขยาย	65
5.1	การทดสอบโดยป้อนสัญญาณสองอันที่มีความถี่, ขนาดและมุ่งเทากัน	69
5.2	ผลการทดสอบเครื่องโดยใช้สัญญาณจากวงจรอินเวอร์ทิงแอมป์-ฟลัมเบอร์	70
5.3	ผลการทดสอบของวงจร RC low pass filter โดยใช้ความถี่ ทานขนาด 11.95 กิโลโหร์และค่าพาห์เทอร์ขนาด 0.0505 ใน โครฟาร์ค	72
5.4	ผลการคำนวนลักษณะสมบัติของวงจร RC low pass filter ที่มีขนาดความถี่ ทาน 11.95 กิโลโหร์และค่าพาห์เทอร์ขนาด 0.0505 ใน โครฟาร์ค	

- ๕
- 5.5 ผลการวิเคราะห์วงจร RC low pass filter ที่มีความท่าน
ท่าน 1182 โอม และค่าไฟฟ้าชีโตร์ขนาด 0.0505 ในໂຄຣໄຟຣັກ 78
- 5.6 ลักษณะสมบัติทางทฤษฎีของวงจร RC low pass filter ที่มีค่า
ความท่านท่าน 1182 โอม และค่าไฟฟ้าชีโตร์ขนาด 0.0505 ใน-
ໂຄຣໄຟຣັກ 79
- 5.7 ผลการทดสอบวงจร RC high pass filter ที่มีความท่านท่าน
11.95 โอม และค่าไฟฟ้าชีโตร์ขนาด 0.0505 ในໂຄຣໄຟຣັກ 82
- 5.8 ลักษณะสมบัติทางทฤษฎีของวงจร RC high pass filter
ที่มีความท่านท่าน 11.95 โอม และค่าไฟฟ้าชีโตร์เป็น 0.0505
ในໂຄຣໄຟຣັກ 83
- 5.9 ผลการทดสอบวงจร RC high pass filter โดยค่าความท่าน^{ท่านเป็น}
ท่านเป็น 1182 โอม และค่าไฟฟ้าชีโตร์เป็น 0.0505 ในໂຄຣໄຟຣັກ 87
- 5.10 ลักษณะสมบัติทางทฤษฎีของวงจร RC high pass filter
ที่มีความท่านท่าน 1182 โอม และค่าไฟฟ้าชีโตร์ขนาด-
0.0505 ในໂຄຣໄຟຣັກ
- 5.11 ผลการวัดอัตราขยายและความแทกท่างมุขของวงจรในรูปที่ 5.12 92

สารบัญภาคประกอบ

รุ่ปที่	ชื่อรุ่ป	หน้า
1.1	แผนภาพการทำงานของภาควัสดุรายได้ที่ใช้กันทั่วไป	2
1.2	แผนภาพการทำงานของภาควัสดุความแตกต่างมุ่นที่ใช้กันทั่วไป	2
1.3	แผนภาพการทำงานของเครื่องวิเคราะห์ห่วงจรแบบคิดจดที่ออกแบบ	4
2.1	แผนภาพการทำงานของภาคคำนวนอัตราขยายที่ໄດ้ออกแบบ	7
2.2	แผนภาพการทำงานของภาควัสดุความแตกต่างมุ่นที่ໄດ้ออกแบบ	9
2.3	แผนภาพการทำงานของเครื่องวิเคราะห์ห่วงจรแบบคิดจดที่ออกแบบ	10
3.1	วงจรเอชทูคิกอนเวิร์ทเทอร์	15
3.2	แผนภาพการทำงานของภาคเอชทูคิกอนเวิร์ทเทอร์	16
3.3	วงจรอนิ่มเกรทเทอร์และตัวเปรียบเทียบ	20
3.4	วงจรนับและตัวผลิตฟลักบ	22
3.5	วงจรควบคุมสวิทซ์และตัวสวิทซ์	24
3.6	แหล่งจ่ายแรงดันคงที่ -1 โวลท์	24
3.7	วงจรควบคุมการส่งสัญญาณ	25
3.8	ภาพแสดงสัญญาณขาเข้าและพัลซ์ที่สร้างขึ้นในวงจรตรวจจับความแตกต่างมุ่น	27
3.9	วงจรตรวจจับความแตกต่างมุ่น	29
3.10	วงจรนับและมัดที่เพลกเซอร์	32
3.11	วงจรคีโตกเดอร์	33
3.12	แผนภาพเก็บง่วงจรของภาคคำนวนและแสดงผล	35
3.13	วงจรอินเทอร์เฟส	36

3.14	วงจรจำแลงแสดงผลเครื่องหมาย	37
3.15	วงจรจำแลงแสดงผลหนังหลัก	38
3.16	แผนภาพการทำงานของภาคควบคุม	40
3.17	วงจรควบคุมการมัลติเพลก	42
3.18	วงจรควบคุมการคำนวนไฟส์	43
3.19	วงจรควบคุมการคำนวนอัตราขยาย	44
3.20	วงจรควบคุมการแสดงผลและส่งสัญญาณ	45
4.1	กราฟแสดงความสัมพันธ์ระหว่างแรงดันขาเข้ากับแรงดันขาออก ของวงจร เอชทีซีคอนเวอร์เทอร์ชุกที่ 1	49
4.2	กราฟแสดงความสัมพันธ์ระหว่างแรงดันขาเข้ากับแรงดันขาออก ของวงจร เอชทีซีคอนเวอร์เทอร์ชุกที่ 2	49
4.3	แสดงภาพอุปกรณ์จะทดสอบภาค เอชทีซีคอนเวอร์เทอร์	55
4.4	แผนภาพแสดงปลายขาเข้าและออกของภาคบันและมัลติเพลกเชอร์	57
4.5	ภาพแสดงเครื่องมือและการจัดอุปกรณ์จะทดสอบภาคบัน และมัลติเพลกเชอร์	57
4.6	ภาพแสดงเครื่องมือและการจัดอุปกรณ์จะทำการทดลองภาคคำ นวนและแสดงผล	61
4.7	แผนภาพแสดงปลายขาเข้าและออกของภาคตีโตกเดอร์	62
4.8	ภาพแสดงเครื่องมือและการจัดอุปกรณ์จะทำการทดสอบภาคตี โตกเดอร์	62
4.9	แผนภาพแสดงปลายขาเข้าและออกของภาคควบคุมการมัลติเพลก	63
4.10	แผนภาพแสดงปลายขาเข้าและออกของภาคควบคุมการคำนวน อัตราขยาย	63
4.11	แผนภาพแสดงปลายขาเข้าและออกของภาคควบคุมการคำนวนไฟส์	67

5.1	วงจรอินเวอร์ทิ้งแอมป์ลิฟายเออร์	71
5.2	วงจร RC low pass filter	73
5.3	กราฟเปรียบเทียบผลการคำนวณทางทฤษฎีกับผลการวัดโดย เครื่องวิเคราะห์วงจรแบบคิจholของอัตราขยายของวงจร RC low pass filter ที่มีความท้านทานเป็น 11.95 กิโลโอม์มและค่าค่าพาชีเตอร์เป็น 0.0505 ในโตรฟาร์ค	75
5.4	กราฟเปรียบเทียบผลการคำนวณทางทฤษฎีกับผลการวัดโดย เครื่องวิเคราะห์วงจรแบบคิจholของความแทรกต่างมุนของ วงจร RC low pass filter ที่มีความท้านทานเป็น 11.95 กิโลโอม์มและค่าค่าพาชีเตอร์เป็น 0.0505 ในโตรฟาร์ค	76
5.5	กราฟเปรียบเทียบผลการคำนวณทางทฤษฎีกับผลการวัดโดย เครื่องวิเคราะห์วงจรแบบคิจholของอัตราขยายของวงจร RC low pass filter ที่มีความท้านทานเป็น 1182 โอม และค่าค่าพาชีเตอร์เป็น 0.0505 ในโตรฟาร์ค	80
5.6	กราฟเปรียบเทียบผลการคำนวณทางทฤษฎีกับผลการวัดโดย เครื่องวิเคราะห์วงจรแบบคิจholของความแทรกต่างมุนของ สัญญาณขาออกเทียบกับสัญญาณขาเข้าของวงจร RC low- pass filter ที่มีความท้านทานเป็น 1182 โอม และ ค่าค่าพาชีเตอร์เป็น 0.0505 ในโตรฟาร์ค	81
5.7	วงจร RC high pass filter	84
5.8	กราฟเปรียบเทียบผลการคำนวณทางทฤษฎีกับผลการวัดโดย เครื่องวิเคราะห์วงจรแบบคิจholของอัตราขยายของวงจร RC high pass filter ที่มีความท้านทานเป็น 11.95 กิโลโอม์มและค่าค่าพาชีเตอร์ 0.0505 ในโตรฟาร์ค	85

5.9	กราฟเปรียบเทียบผลการคำนวนทางทฤษฎีกับผลการวัดโดย เครื่องวิเคราะห์วงจรแบบคิจitol ของความแทรกค่านุ่มนของ วงจร RC high pass filter ที่มีความถันทานเป็น 11.95 โอม และค่าค่าพาชิเตอร์เป็น 0.0505 ในໂຄຣຟາຣັກ	86
5.10	กราฟเปรียบเทียบผลการคำนวนทางทฤษฎีกับผลการวัดโดย เครื่องวิเคราะห์วงจรแบบคิจitol ของอัตราขยายของวงจร RC high pass filter ที่มีความถันทานเป็น 1182 โอม และค่าค่าพาชิเตอร์เป็น 0.0505 ในໂຄຣຟາຣັກ	89
5.11	กราฟเปรียบเทียบผลการคำนวนทางทฤษฎีกับผลการวัดโดย เครื่องวิเคราะห์วงจรแบบคิจitol ของอัตราขยายของวงจร RC high pass filter ที่มีความถันทานเป็น 1182 โอม และค่าค่าพาชิเตอร์เป็น 0.0505 ในໂຄຣຟາຣັກ	90
5.12	วงจรสองท่าที่ไม่ทราบลักษณะสมบัติ	93
5.13	กราฟแสดงผลการวัดอัตราขยายโดยเครื่องวิเคราะห์วงจร แบบคิจitol ของวงจรในท่าที่ 5.12	94
5.14	กราฟแสดงผลการวัดความแทรกค่านุ่มนของสัญญาณขาออก เทียบกับสัญญาณขาเข้าของวงจรในท่าที่ 5.12 ในรูปที่ 5.12 โดยเครื่องวิเคราะห์วงจรแบบคิจitol	95
5.15	วงจร Second Order Low pass Chebyshev Filter ซึ่งเป็นวงสองท่าในรูปที่ 5.12	96
ก.1	แหล่งรายแรงคันไฟฟ้าเลี้ยงวงจร	102
ข.1	วงจรสร้างสัญญาณความถี่คงที่ 5 เมกะເହົ້ຣິ	104
ข.2	วงจรสร้างสัญญาณความถี่คงที่ 2 เมากະເຫົ້ຣິ	104
ຄ.1	วงจรควบคุมສົວໃຫ້ເລືອດນິກກາຮັກ	106
ຈ.1	ກາຟແສກງເຄື່ອງວິເຄຣະຫົວທັນແບບທີ່ສ້າງຂຶ້ນ	109

๙.2	ภาพแสดงหน้าปัดของเครื่องวิเคราะห์วงจรแบบคิจ忠กันแบบ ที่สร้างขึ้น	110
๙.1	แผนภาพแสดงการตอบลายรับส่งสัญญาณภายในเครื่อง	113
๙.2	Timing Diagram ของการวัดอัตราขยาย	114
๙.3	Timing Diagram ของการวัดความแตกต่างมุม	115